Widowilliam.

А. М. СИМОНЯН

О ВЕРОЯТНОСТНОМ РАСЧЕТЕ СТАТИЧЕСКИ-НЕОПРЕДЕЛИ-МЫХ СТЕРЖНЕВЫХ СИСТЕМ ИЗ НЕЛИНЕЙНО-ДЕФОРМИРУЕМОГО МАТЕРИАЛА

Как известно, напражения, позникающие в стержнях статическинеопседелимых систем, зависят от д формативных характеристик этих стержней. Как правило, параметры, определяющие связь между деформациями и напряжениями, принимаются достоверными и приравниваются усредненным из достаточно большого количества соответствующих экспериментов. Однако, у элементов реальных конструкций параметры, определяющие деформационные свойства, не будут тождественно равны их усредненным акспериментальным значениям, причем расхождения эти будут тем больше, чем больше разброс экспериментальных данных, несмотря на то, что эти усредненные данные являются наиболее вероятными значениями рассматриваемых параметров. Этот вопрое приобретает особое значение в условиях ползучести, когда разброс деформационных криных значение в условиях ползучести, когда разброс деформационных криных значителен.

В настоящей работе рассматривае со вероятностный расчет статически-неопределимых стержневых систем, целью которого является определение вероятности того, что напряжения в стержиях систем заключены в произвольно заданных пределах. В терминологии [1] задача сведена к определению вероятностных свойств выходных параметров на основе вероятностных свойств стохастической системы. Определяются аналитические выражения для функции распределения выходных параметров без каких-либо ограничений в отношении изменчивости случайных величин, определяющих деформационные свойства матернала.

1. Постановка задачи. Задаются функции распределений нараметров. определяющих деформационные свойства стержней некоторой статически-неопределимой системы, и ищутся функции плотностей распределений напряжений, возникающих в этих стержнях.

В качестве плотностей распределения основного параметра полоучести здесь рассматриваются исследованные в работе [2] нормальный макон

$$f(x) = 1/1 \frac{2\pi \tilde{D}}{2\pi \tilde{D}} \exp[(x-m)^2/2D]$$
 (1.1)

где х — ковффициент при функционале ползучести, m — среднее арифметическое его значение, \bar{D} — выборочная дисперсия,

111 тип распределения Пирсона

$$f(x) = \begin{cases} a^{1}x^{x-1} \exp(-ax)/\Gamma(\gamma), & 0 < x < \infty, & \gamma > 1 \\ 0, & x \le 0 \end{cases}$$
 (1.2)

гле
$$a = \frac{m}{\widetilde{D}}$$
, $\gamma = \frac{m^2}{\widetilde{D}}$ $\Gamma = \Gamma$ амма-функция,

а также распределение

$$f(x) = \begin{cases} (bx^n + cx^n) \exp(-a^2x^2), & 0 \le x < \infty, \ b \ge 0, \ c \ge 0, \ n > 0, \ k > 0 \\ 0, \ x < 0 \end{cases}$$
(1.3)

где

$$a = \frac{(k-n)\,\bar{m}}{4\,(\bar{D}+\bar{m}^2)\,A\,(k,n)} +$$

$$+ \sqrt{\frac{(k-n)^{2}\widetilde{m^{2}}}{16 A^{2} (k, n) (\widetilde{D} + \widetilde{m^{2}})^{2}} + \frac{k+1}{2 (\widetilde{D} + \widetilde{m^{2}})} - \frac{(k-n) \Gamma(\frac{k+2}{2})}{2A (k, n) (\widetilde{m^{2}} + \widetilde{D}) \Gamma(\frac{k+1}{2})}}$$

$$4a^{\kappa+3} \qquad (k+1) = -\infty$$

$$b = \frac{4a^{n+3}}{(k-n)\Gamma(\frac{n+1}{2})} \left(\frac{k+1}{2a^2} - \tilde{D} - \tilde{m}^2\right)$$

$$c = \frac{2a^{k+1}}{\Gamma\left(\frac{k+1}{2}\right)} - ba^{k-n} \frac{\Gamma\left(\frac{n+1}{2}\right)}{\Gamma\left(\frac{k+1}{2}\right)}; \quad A\left(k,n\right) = \frac{\Gamma\left(\frac{k+2}{2}\right)}{\Gamma\left(\frac{k+1}{2}\right)} - \frac{\Gamma\left(\frac{n+2}{2}\right)}{\Gamma\left(\frac{n+1}{2}\right)}$$

$$B(k, n) = (k+1) \frac{\Gamma\left(\frac{n+2}{2}\right)}{\Gamma\left(\frac{n+1}{2}\right)} - (n+1) \frac{\Gamma\left(\frac{k+2}{2}\right)}{\Gamma\left(\frac{k+1}{2}\right)}$$

h и п — коэффициенты, подлежащие подбору при удовлетворении ряду условий [2]. Положим, что соотношения между деформациями и напряжениями в элементе і системы могут быть записаны согласно какой-либо из нижеприведенных теорий:

$$\varepsilon_i = x$$
. $\tau_i^* f(t)$ (теория старения [3])

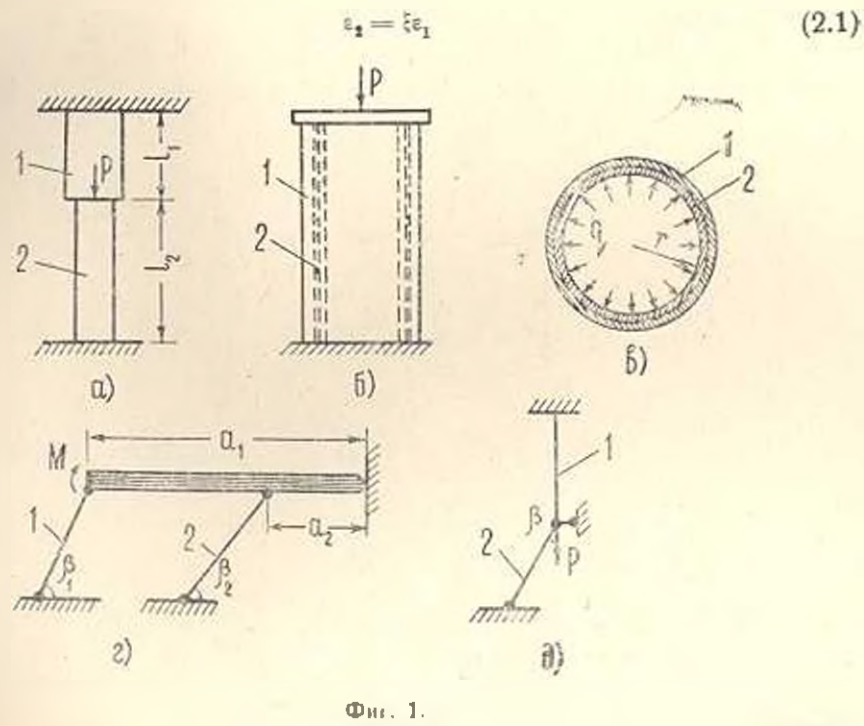
$$\frac{\partial t}{\partial t} = x_t \circ f(t) \text{ (теория течения [3])}$$

$$\varepsilon_l^{1/p} = \mathbf{x}_l^{1/p} = \left| z_l(t) + \int_0^t K(t, t) z_l(t) dt \right|$$
 (теорил наследственности [4])

$$\frac{\partial \varepsilon_i}{\partial t} = \mathbf{x}_i^* + \mathbf{\varepsilon}_l^{1-1}$$
 (гипотеза уравнения состояния [4])

$$\varepsilon_i = x \int_0^{a_i^{p-2}} (\cdot) \left| \int_0^a (\cdot) d\cdot \right| d^2$$
 (вариант теории разупрочнения [5]).

2. Двухстержневые статически-неопределимые системы. Рассмотрим задачи а—д, показанные на фиг. 1. Уравнения совместности и статики запишутся так:



 $\sigma_2 = P - \tau_i \sigma_1 \tag{2.2}$

где значения \$, 11 м P, соответственно рассмотренным задачам, можно взять из табл. 1 (индексы приняты соответственно номерам стержней).

					Таблица 1
Задачи	а	6	*	1	A
	$-I_1/I_2$	I	1	$\frac{a_1 l_2 \sin 8}{a_1 l_2 \sin 6}$	l1 cos 3
P	$-P^{j}F_{1}$	$-P/F_2$	gr/%2	M	F ₂ cos B
η	$-F_{3}/F_{3}$	F_1/F_2	δ ₁ /δ ₂	F,a, sin	F ₁ cos S

Решая уравнения (2.1) и (2.2), согласно любой из теорий (1.4), получим

$$z_1 = P \xi^{-1/\rho} [(x_1/x_2)^{1/\rho} + \eta_5^{-1/\rho}]^{-1}$$
 (2.3)

Здесь и впоследствии для отрицательных значений аргумента степенная функция продолжается нечетно; $x^n \equiv |x|^n \operatorname{sign} x$.

Рассмотрим распределение у, определяемого равенством

$$y = [(x_1/x_2)^{1/\theta} + \theta]^{-1}$$
 (2.4)

в зависимости от распределения x_i и x_j . Для этого достаточно зафиксировать некоторое значение y и определить область изменения x_i и x_j , в которой значения y_i согласио (2.4), меньше фиксированиого, а затем я этой области осуществить интегрирование плотности распределения $I(x_i, x_i)$. При этом для функции распределения G(y) согласно [6], (с. 146), получим

$$G(y) = \int_{0}^{0} dx_{1} \left| \int_{y(x_{1})}^{y(x_{1})} f(x_{1}, x_{2}) dx_{1} + \int_{y(x_{2})}^{y(x_{2})} f(x_{1}, x_{2}) dx_{1} \right| + \int_{0}^{1} dx_{2} \int_{y(x_{2})}^{y(x_{2})} f(x_{1}, x_{2}) dx_{1}, \quad y > 0$$

$$(2.5)$$

$$G(y) = \int_{-\infty}^{a} dx_{1} \int_{-2(x_{1})}^{-\gamma(x_{1})} f(x_{1}, x_{1}) dx_{1} + \int_{0}^{-\zeta(x_{1})} f(x_{1}, x_{1}) dx_{1}, \quad y < 0$$
 (2.6)

rae
$$(x_2) = x_2^{0^p}, \ \chi(x_2) = x_1 \left| \frac{1}{y} - 0 \right|^p$$

Aля плотности распределения $g\left(y\right)=dG\left(y\right)/dy$ получим из (2.5) и (2.6)

$$g(y) = \frac{y}{y^2} \left| \frac{1}{y} - \frac{1}{y} \right|^{-1} \int |x_1| / \left| x_0 \left(\frac{1}{y} - \frac{1}{y} \right) \cdot x_0 \right| dx_1$$
 (2.7)

Отметим, что, вследствие независимости деформационных свойств стержней друг от друга.

$$f(x_1, x_2) = f(x_1) f(x_2)$$
 (2.8)

Принимая, что для распределения параметров x₁ и x имеет место нормальный закон (1.1), после ряда выкладок получим

$$\mathbf{x}(y) = \frac{\left| \left| \frac{1}{y} - \theta \right|^{p-1}}{2\pi y^{2} \sqrt[p]{D_{1}D_{1}}} \frac{\exp \left| \left| \Omega \left(y \right) - \frac{m_{1}}{2D_{1}} - \frac{m_{2}}{2D_{2}} \right|}{\frac{1}{2D_{1}} \left| \frac{1}{y} - \theta \right| + \frac{1}{2D_{2}}} \times \left| \exp \left[-\Omega \left(y \right) \right] + V - \Omega \left(y \right) \text{ erf } \left| \left| \left| \Omega \left(y \right) \right| \right|_{1} - \pi < y < \infty \quad (2.9)$$

THE
$$2(y) = \frac{1}{4} \left| \frac{m_1}{D_1} \left(\frac{1}{y} - \theta \right) + \frac{m_0}{D_2} \right|^2 \left| \frac{1}{2D_1} \left| \frac{1}{y} - \theta \right|^{2\varrho} + \frac{1}{2D_2} \right|^{-1}$$

а индексы при m и D соответствуют номеру стержия.

Плотности распределения о, и о- соответственно запишутся так:

$$\varphi_1(z_1) = \xi^{1/p} g(\xi^{1/p} z_1/\Gamma)/\Gamma$$
 (2.10)

$$\varphi_2(\sigma_3) = \frac{1}{\eta P} \, \xi^{1/\rho} g\left(\frac{P - \frac{1}{2}}{\eta P} \, \xi^{1/\rho}\right) \tag{2.11}$$

Для определения вероятности р нахождения в произвольно заданных пределах, например достаточно проинтегрировать (2.10) или (2.11) в этих пределах

$$p\left(\sigma_{i} \leqslant \sigma_{i} \leqslant \sigma_{i}\right) = \int_{\sigma_{i}} \Psi_{i}\left(\sigma_{i}\right) d\sigma_{i} \tag{2.12}$$

При использовании более точного для описания ползучести [2] распределения (1.3) после ряда выкладок получим

$$g(y) = \frac{1}{y} \left(\frac{1}{y} - \theta \right)^{p-1} \left[b_1 \left(\frac{1}{y} - \theta \right)^{pn_1} \left[T(y, n_1, n_2) b_1 + c_2 T(y, n_1, k_2) \right] + c_1 \left(\frac{1}{y} - \theta \right)^{pn_1} \left[b_2 T(y, n_2, k_1) + c_2 T(y, k_1, k_2) \right] \right], \quad 0 < y < \frac{1}{\theta} \quad (2.13)$$

$$g(y) = 0, \quad y < 0 \text{ if } y > \frac{1}{\theta}$$

где

$$T(y, n, k) = \frac{1}{2} \Gamma\left(\frac{n + k + 2}{2}\right) \left[a_1^2 + a_1^2 \left(\frac{1}{y} - \theta\right)^{2p}\right]^{-\frac{n+2}{2}}$$

Менее громоздким оказывается выражение g(y) при использовании для x_1 и x_2 распределений Пирсона III типа (1.2)

$$g(y) = \frac{\Gamma(x_1 + x_1)}{\Gamma(x_1)\Gamma(x_2)} \rho y^{-2} a_1^{x_1} a_2^{x_2} (1/\rho - 6)^{\alpha_1 - 1} \left[a_1 \left(\frac{1}{y} - 6 \right) + a_2 \right]^{-\alpha_2 - 1}$$

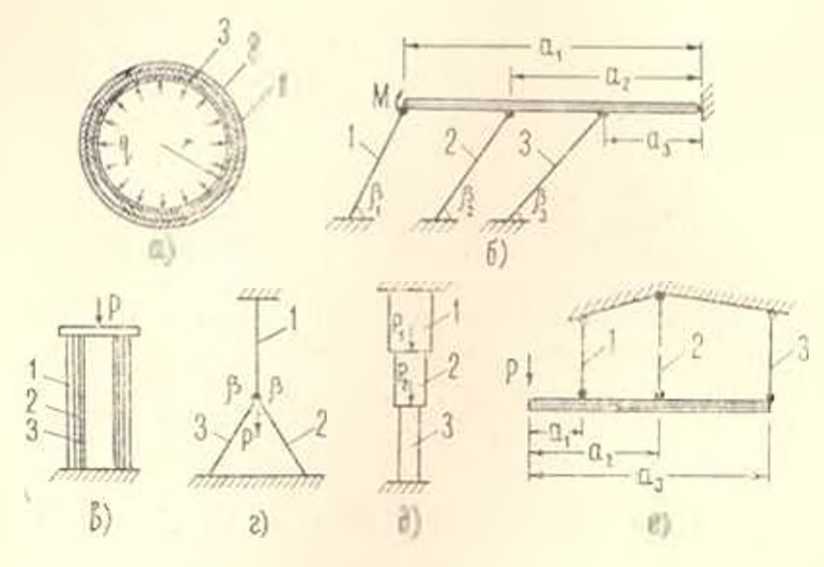
$$0 < y < \frac{1}{\rho}$$

$$g(y) = 0, \quad y < 0 \text{ if } y > \frac{1}{\rho}$$

$$(2.14)$$

Отметим, что использование пормального закона распределения (1.1) для параметра ползучести х вряд ли приемлемо, так как для х имеют смысл лишь положительные значения, с другой стороны, в этом случае выражение g (g) (формула (2.9)) менее удобно для применения, чем формулы (2.13) и (2.14). Это усложнение усугубляется при рассмотрении более сложных задач, поледствие чего ниже будут рассматриваться лишь распределения (1.2) и (1.3).

3. Трехстержневые статически-неопределимые системы. Рассматривая задачи а—с. показанные на фиг. 2. разделим их на три группы. Для задач а, 6 и в, входящих в первую группу, решение уравнении статики и совместности деформаций дает



Onr 2

$$\begin{split} \sigma_1 &= \mathbb{P}_1 \left[1 + \theta_1 \left(\frac{x_3}{x_3} \right)^{1/p} + \lambda_1 \left(\frac{x_3}{x_3} \right)^{1/p} \right]^{-1} \\ \sigma_2 &= \mathbb{P}_2 \left[1 + \theta_2 \left(\frac{x_2}{x_1} \right)^{1/p} + \lambda_2 \left(\frac{x_2}{x_3} \right)^{1/p} \right]^{-1} \\ \sigma_3 &= \mathbb{P}_3 \left[1 + \theta_3 \left(\frac{x_2}{x_1} \right)^{1/p} + \lambda_3 \left(\frac{x_3}{x_2} \right)^{1/p} \right]^{-1} \end{split}$$
(3.1)

 $heta_1= heta_1^{-1}, \quad = \quad heta_1= heta_1^{-1}, \quad \iota_1= heta_1\lambda_1$, причем для задачи a $heta_1= heta_2/\delta_1, \quad \iota_1= heta_3/\delta_1, \quad P_1=qr/\delta_1, \quad P_2=qr/\delta_2, \quad P_3=qr/\delta_2$

для задачи б

$$I = \frac{F_2 a_1 \sin \beta_2}{F_1 a_1 \sin \beta_1} \left(\frac{l_1 a_2 \sin \beta_2}{l_1 a_1 \sin \beta_1} \right)^{1/\alpha}, \quad i_1 = \frac{a_1 \sin \beta_1}{F_1 a_1 \sin \beta_1} \left(\frac{l_1 a_2 \sin \beta_2}{l_2 a_1 \sin \beta_1} \right)^{1/\alpha}$$

$$I'_{\ell} = \frac{a_{\ell}}{F_{\ell} a_{\ell} \sin \beta_1}, \quad \ell = 1, 2, 3$$

дан задачи в

$$\theta_1 = F_2/F_3$$
, $\lambda_1 = F_4/F_3$, $V_3 = -P/F_3$, $V_4 = -P/F_4$, $V_4 = -P/F_4$

$$y = [1 + \theta_1 (x_1/x_2)^{1/p} + \theta_1 (x_1/x_3)^{1/p}]^{-1}$$
(3.2)

Аналогично процедурам п. 2. а также учитывая $x_t > 0$, что соответствует (1,2) и (1,3), получим

$$G(y) = \int_{r_1(y)}^{\infty} g_{12}(x) dx \int_{0}^{\infty} g_{13}(x) dx + \int_{0}^{r_1(y)} g_{13}(x) dx \int_{r_1(y)}^{\infty} g_{13}(x) dx, \ 0 < y < 1 \quad (3.3)$$

где $r_1(y)=(1/y-1)^r\,\theta_1^{-s},\; r_2(y)=(1/y-1-\theta_1x^{-sp})\,\theta_2^{-s}$ а через $r_1(x_{ij})$ обозначена плотность распределения $x_{ij}=x/x$, которая определяется так:

$$g_{ij}(x_{ij}) = \frac{dG_{ij}(x_{ij})}{dx_{ij}} = \frac{d}{dx_{ij}} \left[\int_{0}^{\infty} f(x_{i}) dx_{j} \int_{0}^{x_{j} \times t_{ij}} f(x_{i}) dx_{i} \right]$$
(3.4)

Для распределения Пирсона III рода (1.2) из соотношения (3.4) получим

$$q_{ij}(\mathbf{z}_{ij}) = \frac{\Gamma(\gamma_i + \gamma_j - 1)}{\Gamma(\gamma_i)\Gamma(\gamma_j)} \mathbf{a}_i^{\gamma_i} \mathbf{a}_j^{\gamma_i - 1} (\mathbf{a}_i - \mathbf{a}_i \mathbf{z}_{ij})$$
(3.5)

Отсюда для д (у) паходим выражение

$$g(y) = \frac{\rho a_{1}^{2\gamma_{1}} a_{2}^{\gamma_{2}} a_{3}^{\gamma_{3}} \Gamma(\gamma_{1} + \gamma_{2} - 1) \Gamma(\gamma_{1} + \gamma_{3} - 1)}{(\theta_{3} \theta_{2})^{\rho \gamma_{1}} \Gamma^{2}(\gamma_{1}) \Gamma(\gamma_{2}) \Gamma(\gamma_{3}) y^{2}} \left(\frac{1 - y}{y}\right)^{2\rho y_{1} - 1} \times \\ \times \int_{0}^{1} \left[a_{2} + a_{1} \left(\frac{1}{y} - 1\right)^{\rho} \xi \theta_{1}^{-\rho}\right]^{1 - \gamma_{1} - \gamma_{2}} \left[a_{3} + a_{1} \left(\frac{1}{y} - \theta\right)^{\rho} (1 - \xi^{1/\rho})^{\rho} \theta_{2}^{-\rho}\right]^{1 - \gamma_{1} - \gamma_{2}} \times \\ \times (1 - \xi^{1/\rho})^{\rho \gamma_{1} - 1} \xi^{\gamma_{1} - 1} d\xi, \quad 0 < y < 1$$

$$g(y) = 0, \quad y < 0, \quad y > 1$$
(3.6)

Аналогично п. 2 здесь имеем

$$\varphi_{1}(\sigma_{1}) = 1/P g(\sigma_{1}/P)$$

$$p(\sigma_{1}) = \varphi_{1}(\sigma_{1}) d\sigma_{1}$$
(3.7)

Для вероятностного расчета σ_{e} достаточно в формулах (3.6) и (3.7) поменять местами индексы 1 и 2, для расчета же σ_{e} — индексы 1 и 3.

Если распределение (1.2) для основного параметра ползучести х неудовлетворительно для описания разброса экспериментальных данных, представляется целесообразным использование распределения (1.3), в котором путем выбора показателей k и n возможно приближение к экспериментальным данным. Для нижеследующих аналитических выражений распределение (1.3) в применении к i-му стержню удобнее записать в виде

$$f_i(x_i) = \sum_{j=1,2} b_{ij} x^{n_{ij}} \exp(-a(x_i)), \quad i = 1, 2, 3, \quad 0 < x < \infty$$
 (3.8)

После ряда выклядок получим

$$\begin{array}{lll}
& (n) = \frac{(1 y - 1)}{4\theta_1 \theta_2 y^2} & \sum_{l \in \mathcal{S}} b_{l \in \mathcal{S}} b_{l \in \mathcal{S}} & \sum_{l \in \mathcal{S}} a_{l i} + a_{2i} + 1 \\
& \times \Gamma\left(\frac{n_{1i} + n_{2k} + 1}{2}\right) \Gamma\left(\frac{n_{1i} + n_{2i} + 1}{2}\right) (1/y - 1)^{2\rho} \left(\frac{n_{1i} + n_{2i} + 1}{2}\right) \\
& \times \int_{1}^{1} \left[a_2^2 + a_1^2 (1/y - 1)^{2\rho} \theta_1^{-2\rho} \xi^2\right] & \times \\
& \times \int_{1}^{1} \left[a_2^2 + a_1^2 (1/y - 1)^{2\rho} \theta_1^{-2\rho} \xi^2\right] & \times \\
& \times \int_{1}^{1} \left[a_2^2 + a_1^2 (1/y - 1)^{2\rho} \theta_1^{-2\rho} \xi^2\right] & \times \\
& \times \left[(1 - \xi)\right]^{2\rho} \left(1 - \xi\right) & -\frac{n_{1i} + n_{2i} + 1}{2} \\
& \times \xi \left[(1 - \xi)\right]^{2\rho} d\xi, \quad 0 < y < 1 \\
& g(y) = 0, \quad y < 0, \quad y > 1
\end{array}$$
(3.9)

где суммирование производится по всем комбинациям i, i, i, принимающим значения 1 и 2, то есть в данном случае складываются из 16 членов. Использование (3.9) для вероятностного расчета σ_i , σ_i и σ_i совершенно аналогично вышеописанному использованию (3.6).

Рассмотрим теперь задачу г (фиг. 2). Напряжения в стержиях определяются формулами

$$\sigma_{1} = \frac{P}{F_{1}} \left[1 + \frac{2F_{0}\cos\beta}{F_{1}} \left(\frac{2l_{1}\cos\beta}{l_{2}} \right)^{1/p} \left(\frac{x_{2}}{x_{1}} + \frac{x_{3}}{x_{1}} \frac{F_{2}^{p}}{F_{1}^{p}} \right)^{-1/p} \right]^{-1}$$

$$\sigma_{2} = \frac{F_{1}\sigma_{1} - P}{2F_{2}\cos\beta}, \quad \sigma_{3} = \frac{F_{2}\sigma_{2}}{F_{3}}$$
(3.10)

Положим

$$y = [1 + \omega (z_{21} + \alpha z_{31})^{-1/p}]^{-1}$$
(3.11)

rae $x_{ij} = x/x_i$.

Функция распределения G(y) для (3.11) я предположении x > 0, что соответствует (1.2) и (3.8), запишется тах:

$$G(y) = \int_{0}^{q_{1}(y)} g_{21}(x) dx \int_{0}^{q_{2}(y)} g_{21}(x) dx \quad 0 < y < 1$$
 (3.12)

где

$$q_1(y) = \left(\frac{\omega y}{1-y}\right)^{\theta}, \quad q_2(y) = \frac{1}{\alpha} \left[\left(\frac{\theta y}{1-y}\right)^{\theta} - x\right]$$

а $g_{21}(x)$ и $g_{31}(x)$ — плотности распределения x_{31} и x_{31} . После ряда выкладок для плотности распределения $g\left(y\right)=dG\left(y\right)/dy$ соотнетственно III типу распределения Пирсона (1.2) получим следующее ныражение:

$$g(y) = \rho w^{\frac{1}{3} - \frac{1}{3}} a_{3}^{\frac{1}{3}} a_{2}^{\frac{1}{3}} \frac{\Gamma(\gamma_{1} + \gamma_{2} - 1) \Gamma(\gamma_{1} + \gamma_{2} - 1)}{\Gamma^{2}(\gamma_{1}) \Gamma(\gamma_{2}) \Gamma(\gamma_{3}) y^{2}} \left(\frac{y}{1 - y}\right)^{\ell(\gamma_{1} + \gamma_{2}) + 1} \times \\ \times \int_{0}^{1} \left[a_{1} + a_{2} \xi \left(\frac{\omega y}{1 - y}\right)^{\ell} \right]^{1 - \gamma_{1} - \gamma_{1}} \left[a_{1} + \frac{a_{1}}{a} \left(\frac{\omega y}{1 - y}\right)^{\ell} (1 - \xi) \right]^{1 - \gamma_{1} - \gamma_{1}} \times \\ \times \Gamma^{n-1} \left(1 - \xi\right)^{\gamma_{1} - 1} d\xi, \quad 0 < y < 1$$

$$g(y) = 0, \quad y < 0, \quad y > 1$$
(3.13)

соответственно же распределению (3.8) или, что то же. (1.3) будем иметь

$$\begin{split} g\left(y\right) &= \frac{\rho}{4} \sum_{l_1, l_2, l} a^{-n_{1j}} b_{1l} b_{1j} b_{2k} b_{3l} \left(1-y\right)^{\rho(n_{1l}+n_{1j})-1} y^{\rho(n_{2k}+n_{3l}+2)-1} \times \\ &\times \Gamma\left(\frac{n_{1i}+n_{2k}+1}{2}\right) \Gamma\left(\frac{n_{1i}+n_{3i}+1}{2}\right) w^{\rho(n_{2k}+n_{3l}+2)} \cdot \\ &\times \sqrt{\left[a_1^* \left(1-y\right)^{2\rho} + a_1^* w^{2\rho} y^{2\rho} \xi^2\right]} \times \end{split}$$

$$\times \left[a_1^{2}a^2(1-y)^2 + a_3^2 \omega^{2\rho}y^{2\rho}(1-\xi)^2\right]^{\frac{n_{1j}+n_{3l}+1}{2}} \frac{n_{2k}}{\epsilon} (1-\xi)^{\frac{n_{3l}}{2}} d^{\frac{1}{2}}, \quad (3.14)$$

$$0 < y < 1$$

$$g(y) = 0, y < 0, y > 1$$

Принимая $\alpha = (F_2 F_1)^t$, $\omega = 2F_2 F_1 (\cos 9)^{1+1}$, $(2I_3/I_2)^1$, при сравнении (3.10) и (3.11) получим

$$\varphi_{1}(z_{1}) = \frac{F_{1}}{P} g\left(\frac{F_{1}z_{1}}{P}\right)$$

$$\varphi_{1}(z_{2}) = \frac{2F_{2}\cos\beta}{P} g\left(1 + \frac{2}{P}F_{2}z_{2}\cos\beta\right)$$

$$\varphi_{1}(z_{2}) = \frac{2F_{2}\cos\beta}{P} g\left(1 + \frac{2}{P}F_{2}z_{3}\cos\beta\right)$$
(3.15)

Рассмотрим теперь задачи g п e (фиг. 2). Для определения напряжения σ_e получим уравнение

$$A(s_1) = s_1 - s_1(1 - bs_1)^t x_2/x_1 - s_2(1 - cs_1) x_2/x_1 = 0 (3.16)$$

где для задачи д

$$s_1 = \frac{l_1}{l_1} \left(\frac{P_1}{P_2} \right)^m$$
, $s_2 = \frac{l_2}{l_1} \left(\frac{P_1 + P_2}{F} \right)^m$, $b = \frac{F_1}{P_1}$, $c = \frac{F_1}{P_1 + P_2}$

для задачи с

$$s_{1} = \frac{(a_{1} - a_{1}) a_{3}^{m} l_{2}}{(a_{3} - a_{1})^{m}} \left(\frac{P}{F_{1}}\right)^{m}, \qquad s_{1} = \frac{(a_{1} - a_{1}) a_{3}^{m} l_{1}}{(a_{3} - a_{1}) (a_{3} - a_{2})^{m} l_{1}} \left(\frac{P}{F_{3}}\right)^{m}$$

$$b = (1 - a_{1}/a_{3}) F_{1}/P, \qquad c = (1 - a_{1}/a_{2}) F_{1}/P$$

Функция распределения $G(\sigma_i)$, согласно (3.16), при условии $x_i \gg 0$ определится так:

$$G(z_{1}) = \int_{0}^{z_{1}(z_{1})} g_{11}(x) dx \int_{0}^{z_{2}(z_{1}, x)} g_{21}(x) dx, \quad 0 < z_{1} < \frac{1}{b}$$

$$G(z_{1}) = \int_{0}^{z_{2}} g_{21}(x) dx \int_{0}^{z_{1}(z_{1}, x)} g_{21}(x) dx, \quad \frac{1}{b} < z_{1} < \frac{1}{c}$$
(3.17)

где

$$v_{z}(x) = \frac{1}{2} \left(\frac{x}{1 - bx} \right), \quad v_{z}(x, y) = \frac{x^{p} - 2}{2} \frac{(1 - bx)^{p} y}{(1 - cx)^{p}}$$

В применении к распределению Пирсона (1.2) отсюда получим нижеследующие выражения для $q_1(\sigma_1)$ — плотиости распределения σ_1

$$\varphi_{1}(z_{1}) = \frac{\Gamma(\gamma_{1} + \gamma_{2} - 1) \Gamma(\gamma_{1} + \gamma_{3} - 1)}{\Gamma(\gamma_{2}) \Gamma(\gamma_{2}) \Gamma(\gamma_{3}) (1 - bz_{1})^{\beta f_{1}} (1 - cz_{1})^{\beta f_{2} + 1}} \times \\
\times \int \left[\left[a_{1} + a_{1} \frac{1}{2} \frac{1}{2} \frac{1}{1 - bz_{1}} \right]^{1 - \gamma_{1} - \gamma_{2}} \left[a_{1} - a_{1} \frac{1}{2} \frac{1}{2} (1 - cz_{1})^{\beta} \right] \right] \times (3.18) \\
\times \xi^{(a-1)} (1 - \varepsilon)^{\alpha - 1} = \left[1 + (b - c) \frac{a_{1}}{1 - bz_{1}} \right] d\xi \times \left[\frac{1}{b} \right] \\
\times \left[\frac{(a_{1}^{2} + a_{2}^{2} + a_{3}^{2}) \Gamma(\gamma_{1} + \gamma_{2} - 1) \Gamma(\gamma_{1} + \gamma_{3} - 1) z_{1}^{(1 - \gamma_{2} - 1)}}{2 2^{10} 2^{10} \Gamma^{2}(\gamma_{1}) \Gamma(\gamma_{2}) \Gamma(\gamma_{2}) \Gamma(\gamma_{3}) (1 - cz_{1})^{\beta f_{2} + 1} (bz_{1} - 1)^{\beta f_{2}}} \times \right] \\
\times \left[\frac{a_{2}^{2} - a_{2}^{2} - a_{2}^{2}}{2 2^{10} \Gamma^{2}(\gamma_{1}) \Gamma(\gamma_{2}) \Gamma(\gamma_{3}) (1 - cz_{1})^{\beta f_{2} + 1} (bz_{1} - 1)^{\beta f_{2}}}{2 2^{10} 2^{10} \Gamma^{2}(\gamma_{1})^{\beta}} \right] \right]$$

$$+ \frac{\xi^{2\gamma_{1}-3}(1+\xi)^{\gamma_{1}-1}\left[(b-c)\frac{\sigma_{1}^{\beta}}{bz_{1}-1} + \xi\sigma_{1}^{\beta-1}\right]}{Q} d\xi \frac{1}{b} < \sigma_{1} < \frac{1}{c}$$

$$Q = \left[\frac{a_{2}z_{1}^{\beta}}{\Omega_{1}(z_{1}b-1)^{\beta}} + a_{1}\xi\right]^{\alpha_{1}+\beta_{2}-1} \left\{\frac{a_{2}z_{1}^{\beta}}{\Omega_{2}(1-cz_{1})^{\beta}} + \xi\left[a_{1} + \frac{a_{3}z_{1}^{\beta}}{\Omega_{2}(1-cz_{1})^{\beta}}\right]\right\}^{\gamma_{1}+\gamma_{2}-1}$$

$$\varphi_{1}(z_{1}) = 0 \quad \text{при} \quad z_{1} < 0, \quad z_{1} > \frac{1}{c}$$

$$(3.19)$$

В применении же к распределению (1.3), получим

$$\varphi_{1}(z_{1}) = -\frac{p}{4} \sum_{i} b_{1i}b_{2k}b_{1i}b_{3i} \Gamma\left(\frac{n_{1i} + n_{2i} + 1}{2}\right) \Gamma\left(\frac{n_{1i} + n_{3i} + 1}{2}\right) \times \\
\times \Omega_{1}^{n_{1i}}\Omega_{2}^{n_{1i}} (1 - cz_{1})^{2n_{1i} - 1} (1 - bz_{1})^{2n_{1i} - 1} \frac{p(n_{2k} - n_{1i} + 1)}{z_{1}} \times \\
\left(\frac{1}{1 - bz_{1} + z(b - c)z_{1}}z^{n_{2k}}(1 - z)^{n_{3i}}dz\right) \qquad 0 \le z_{1} \le \frac{1}{1} \qquad (3.20)$$

$$Q_{1} = \left[a_{1}\Omega_{1}(1 - bz_{1})^{2} + a^{2}z^{2}z^{2}\right] \frac{n_{1i} + n_{2k} + 1}{2} \left[a_{1}^{2}\Omega_{2}(1 - cz_{1})^{2p} + \frac{n_{1j} + n_{3j} + 1}{2}\right]$$

$$\pi_{1}(s_{i}) = \frac{\rho}{4} \sum_{l_{i}, l_{i}, k, l} b_{il} b_{2k} b_{1j} b_{3l} \Gamma\left(\frac{n_{1l} + n_{2k} + 1}{2}\right) \Gamma\left(\frac{n_{1j} + n_{3l} + 1}{2}\right) \times \\
\times 2_{1}^{n_{1l}} \Omega_{2}^{n_{1l}} (1 - c z_{1})^{n_{1l} - 1} (b z_{1} - 1)^{n_{1l} - 1} (b z_{1} + n_{3l} + 1) \times \\
\times \int_{0}^{\infty} \frac{\left(b z_{1} - 1 + z \left(b - c\right) z_{1}\right) z^{n_{2k}} (1 + z)^{n_{3l}} dz}{Q_{2}} \frac{1}{b} \leqslant z_{1} \leqslant \frac{1}{c} \quad (3.21)$$

$$\begin{aligned} Q_2 &= \left[a_1^2 \Omega_1^2 \left(bz_1 - 1\right)^{2p} + a_2^2 - z_1^{2p}\right] \frac{a_{1t} + a_{2t} - 1}{2} \left[a_1^2 \Omega_2^2 \left(1 - cz_1\right)^{2p} + a_2^2 z_1^2 \left(1 + cz_1\right)^{2p} + a_2^2 z_1^2 \left(1 + cz_1\right)^{2p}\right] \\ &+ a_3^2 z_1^2 \left(1 + cz_1\right)^{2p} \\ &+ a_3^2 z_1^2 \left(1 + cz_1\right)^{2p} + a_3^2 z_1^2 \left(1 + cz_1\right)^{$$

Плотности распределения од и од определяются по формулам

$$\varphi_2(z_2) = d_2 \varphi_1 \left(\frac{1}{b} - d_3 z_2 \right)
\varphi_3(z_3) = d_3 \varphi_1 \left(\frac{1}{c} + d_3 z_3 \right)$$
(3.22)

где для задачи д

$$d_2 = \frac{F_2(a_2 - a_2)}{F_1(a_2 - a_1)} \cdot d_2 = \frac{F_2(a_3 - a_2)}{F_1(a_2 - a_1)}$$

а для задачи е

$$d_1 = -\frac{F_3}{F_1}, d_2 = \frac{F_4}{F_1}$$

4. Расчет на прочность. Подожим, что прочностные характеристики стержней являются достоверными. В этом случае задача сводится к определению пероятности р, пыполнения условия

$$-[\varepsilon] \le \varepsilon \le [\varepsilon], \qquad i = 1, 2, ...$$
 (4.1)

где $\{s_i\}$ — значение допускаемого напряжения для стержня i. Принимая $b=-[s_i]$ и $s_i=[s_i]$, искомую вероятность можно определить соответственно по формуле (2.12). Если прочностные характеристики рассматривать не как достоверные, а с учетом разброса их экспериментальных данных, то, обозначая функцию распределения $[s_i]$ через $f_i([s_i])$, запишем формулу определения вероятности p_i , с которой удовлетворяется условие прочности (4.1):

$$p_{i}([\sigma_{i}] \gg |\sigma_{i}|) = \int_{0}^{\pi} \varphi(\sigma_{i}) \int_{\sigma_{i}}^{\pi} f([\sigma_{i}]) d[\sigma_{i}] d\sigma_{i} + \int_{-\infty}^{\pi} \varphi(\sigma_{i}) \int_{0}^{\pi} f([\sigma_{i}]) d[\sigma_{i}] d\sigma_{i}$$

$$+ \int_{-\infty}^{\pi} \varphi(\sigma_{i}) \int_{0}^{\pi} f([\sigma_{i}]) d[\sigma_{i}] d\sigma_{i}$$

$$(4.2)$$

5. Численный пример. Рассмотрим двухслойную грубу под действием внутреннего давления (фиг. 1, задача в), принимая, что оба слоя трубы имеют одну и ту же толщину ($\delta_1 = \delta_2 = \delta$) и изготовлены из материала, разброс механических своиств которого можно описать распределением Пирсона. Плотности распределения напряжений в слоях 1 и 2 можно определить согласно формулам (2.10), (2.11) и (2.14).

В зависимости от разброса D_t/m^2 показателя x_t механических своиств, определяемых уравнениями (1.4), в табл. 2 даны вероятности того, что напряжения σ_t и σ_t не превосходят σ_t для которого слева таблицы даны вначения σ_t/σ_t .

diegr	$\frac{D_1}{2} = \frac{D_2}{2} = 0.1$	$\frac{D}{D} = \frac{D_2}{D_2} - 0.2$	$\frac{D_1}{m_1} = \frac{D_2}{m_2} = 0.3$	$\frac{D_3}{m^2} = \frac{1}{3}$	
	mi mi	m ₁ m ₂	m ₁ m ₂	1º RAR	AAS 53
0.1	0	0.0009	0.0086	0.0015	0.0071
0.2	0.0007	0.0197	0.0579	0.0264	0.0517
0.3	0.0285	0.0988	0.1631	0.1024	0.1559
0.4	0.1497	0.2665	0.3174	0.2720	0.3208
0.5	0.5	0.5	0.5	0.4753	0.5247
0.6	0.8503	0.7335	0.6826	0.6792	0.7280
0.7	0.9715	0.9012	0.8369	0.8441	0.8976
0.8	0.9993	0.9803	0,9421	0.9483	0.9736
0.9	1,0000	0.9991	0,9914	0.4929	0.9985

Отметим, что согласно достоверным значениям параметров x_t, как ато деластся в обычных расчетах без вероятностей, мы имели бы

$$p\left(z_{i} < 0.5 \frac{qr}{r}\right) = 0 \text{ m } p\left(z_{i} > 0.5 \frac{qr}{r}\right) = 1, i = 1.2.$$

СКТВ Института механики АН Армянской ССР

Поступила 4 XI 1980

u. v. nevorate

ՍՈՂՔԻ ՊԱՅՄԱՆՆԵՐՈՒՄ ՍՏԱՏԻԿՈՐՆՆ–ԱՆՈՐՈՇ ՉՈՂԱՅԻՆ ՍԻՍՏԵՄՆԵՐԻ ՀԱՎԱՆԱԿԱՆՈՒԹՅԱՆ ՀԱՇՎԱՐԿԻ ՄԱՍԻՆ

Unification of the Land

ինանգրելով լարումների բայիւման խաությունը այդ սահմաններում ,

հանգրելով լարումների բայիւման խաությունը այդ սահմաններում ,

հանգրելով լարումների իրայիւման հարցերում այսնացած աված սահմաններում ,

հանդան հանդան հարդականություն որոշվում են տարբեր անսակի երկու և երևը ստատիկորներ անություն և արդանին սիստանների արդարերի այստանան կառություն ,

հերը՝ հիմնված ձողերի մեխանիկական բնությարբեր ստատիստիկական ցուտիկուն ինություն և ապիս որոշել լարումները

հերը՝ հիմնված ձողերի մեխանիկական բնությարբերի ստատիստիկական ցուտենի իրայիսներում և ապիս որոշել լարումները

հերը՝ հիմնված ձողերի մեխանիկական բնությարթեր և ապիս որոշել լարումները

հերը ունեն բանանների արդանակարություն և ապիս որոշել լարումները

հիտնգրելով լարումների բայիսման խառություն և սուվորական սահմաններում և

Որպես ֆունկցիաներ դեֆորմացիոն ընութադրնրի բաշխման համար դիտարկված են նորմալ բաշխման օրենքը, Պիրսոնի բաշխման 3-րդ տիպը, ինչպես նաև բաշխման մի նոր տեսակ, որը փորձարարական հիմնավորում է ատացել մի շարք նյութերի համար։

Որպես օրինակ է թննարկված սողջի վիճակում դանվող հրկչնրա խողովակի ամրուկյան հավանականային հաշվարկը ներթին ճնշման պայմաններում։

ON PROBABILITY CALCULATION OF PIVOTED STATICALLY-INDEFINITE SYSTEMS TAKING ACCOUNT CREEP

A. M. SIMONIAN

Summary

Experimental properties of creep of materials have considerable distribution and therefore the usual calculation based on the overage data of these properties are not hopefull. The distribution densities of stresses in different double and triple-pivoted statically-indefinite systems on the basis of statistical data of mechanical properties of pivots are defined in this work. It becomes possible to determine the probability of finding the stresses in any pivot in the arbitrary given limits by the integration of the stress distribution densities in these limits. As a distribution function of strain properties the normal distribution, Pearson type III distribution and a new type of distribution are considered each having experimental confirmation for some materials.

As an example the probability calculation of two-layer cylinders under internal pressure is considered.

ЛИТЕРАТУРА

- 1. Болотин В. В. Применение методов теории вероятностей и згории надежности в расчетах конструкций. М.: Стройиздат, 1971, 255 с.
- Симбиян Л. М. К вопросу о выборе функции распределения при высокотемпературпой ползучести металлов.— Изв. АН Арм. ССР, Механика. 1978, т. 31, № 2, с. 55—66.
- 3. Качанов Л. М. Теория полаучести. М.: Физматгиз, 1960, 450 с.
- 4. Аругинян Н. X. Некоторые вопросы теория полаучести. М.—Л.: Гостехтеориздат. 1952. 323 с.
- Симонян А. М. Исследование полаучести стали X 18H 10T при больших деформациях. Проблемы прочности, 1975, № 6, с. 63—66.
- 6. Гисденко Б. В. Курс теорин вероятностей. М.: Физматека, 1961, 406 с.